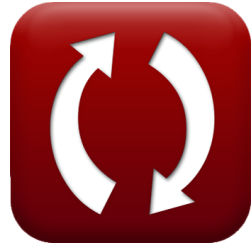


calculatoratoz.comunitsconverters.com

Carichi in tensione sul tetto Formule

[Calcolatrici!](#)[Esempi!](#)[Conversioni!](#)

Segnalibro calculatoratoz.com, unitsconverters.com

La più ampia copertura di calcolatrici e in crescita - **30.000+ calcolatrici!**
Calcola con un'unità diversa per ogni variabile - **Nella conversione di unità
costruita!**

La più ampia raccolta di misure e unità - **250+ misurazioni!**

Sentiti libero di CONDIVIDERE questo documento con i
tuoi amici!

[Si prega di lasciare il tuo feedback qui...](#)



Lista di 48 Carichi in tensione sul tetto Formule

Carichi in tensione sul tetto ↗

1) Area tributaria data carico dinamico del tetto ↗

fx $A_t = 1000 \cdot \left(1.2 - \left(\frac{L_f}{20 \cdot R_2} \right) \right)$

[Apri Calcolatrice ↗](#)

ex $2092.983 \text{ft}^2 = 1000 \cdot \left(1.2 - \left(\frac{18.1N}{20 \cdot 0.90} \right) \right)$

2) Carico dinamico del tetto quando l'area tributaria è compresa tra 200 e 600 piedi quadrati ↗

fx $L_f = 20 \cdot (1.2 - 0.001 \cdot A_t) \cdot R_2$

[Apri Calcolatrice ↗](#)

ex $17.94983N = 20 \cdot (1.2 - 0.001 \cdot 2182.782 \text{ft}^2) \cdot 0.90$

3) Carico dinamico sul tetto ↗

fx $L_f = 20 \cdot R_1 \cdot R_2$

[Apri Calcolatrice ↗](#)

ex $18.18N = 20 \cdot 1.01 \cdot 0.90$



Carichi sismici ↗

4) Altezza dell'edificio per telai in acciaio controventati in modo eccentrico dato il periodo fondamentale ↗

fx
$$h_n = \left(\frac{T}{0.03} \right)^{\frac{4}{3}}$$

[Apri Calcolatrice ↗](#)

ex
$$33.1453\text{ft} = \left(\frac{0.170s}{0.03} \right)^{\frac{4}{3}}$$

5) Altezza dell'edificio per telai in cemento armato dato il periodo fondamentale ↗

fx
$$h_n = \left(\frac{T}{0.03} \right)^{\frac{4}{3}}$$

[Apri Calcolatrice ↗](#)

ex
$$33.1453\text{ft} = \left(\frac{0.170s}{0.03} \right)^{\frac{4}{3}}$$

6) Altezza edificio per altri edifici dato periodo fondamentale ↗

fx
$$h_n = \left(\frac{T}{0.02} \right)^{\frac{4}{3}}$$

[Apri Calcolatrice ↗](#)

ex
$$56.91284\text{ft} = \left(\frac{0.170s}{0.02} \right)^{\frac{4}{3}}$$



7) Altezza edificio per telaio in acciaio dato periodo fondamentale ↗

fx
$$h_n = \left(\frac{T}{0.035} \right)^{\frac{4}{3}}$$

[Apri Calcolatrice ↗](#)

ex
$$26.98731\text{ft} = \left(\frac{0.170s}{0.035} \right)^{\frac{4}{3}}$$

8) Carico morto totale dato il taglio di base ↗

fx
$$W = \frac{V}{C_s}$$

[Apri Calcolatrice ↗](#)

ex
$$106.7573\text{kN} = \frac{8.40\text{kipf}}{0.35}$$

9) Coefficiente di risposta sismica dato il coefficiente sismico per strutture dipendenti dalla velocità ↗

fx
$$C_s = 2.5 \cdot \frac{C_a}{R}$$

[Apri Calcolatrice ↗](#)

ex
$$0.625 = 2.5 \cdot \frac{1.5}{6}$$



10) Coefficiente di risposta sismica dato il periodo fondamentale

fx $C_s = 1.2 \cdot \frac{C_v}{R \cdot T^{\frac{2}{3}}}$

[Apri Calcolatrice !\[\]\(e2376d476d06eb31946dc01a69a4403a_img.jpg\)](#)

ex $0.351931 = 1.2 \cdot \frac{0.54}{6 \cdot (0.170s)^{\frac{2}{3}}}$

11) Coefficiente di risposta sismica dato il taglio di base

fx $C_s = \frac{V}{W}$

[Apri Calcolatrice !\[\]\(0b5e7e25e8775f7e7e80906ada4f0021_img.jpg\)](#)

ex $0.350024 = \frac{8.40\text{kipf}}{106.75\text{kN}}$

12) Coefficiente sismico per strutture di breve periodo

fx $C_v = \frac{C_s \cdot (R \cdot T^{\frac{2}{3}})}{1.2}$

[Apri Calcolatrice !\[\]\(bd3b31712ad9bab5a241210fa6925cdd_img.jpg\)](#)

ex $0.537037 = \frac{0.35 \cdot (6 \cdot (0.170s)^{\frac{2}{3}})}{1.2}$

13) Coefficiente sismico per strutture dipendenti dalla velocità

fx $C_a = C_s \cdot \frac{R}{2.5}$

[Apri Calcolatrice !\[\]\(7bc43b319a082987e20f7bf78f4bab80_img.jpg\)](#)

ex $0.84 = 0.35 \cdot \frac{6}{2.5}$



14) Fattore di distribuzione verticale data la forza laterale ↗

fx $C_{ux} = \frac{F_x}{V}$

[Apri Calcolatrice ↗](#)

ex $1.177571 = \frac{44000N}{8.40\text{kipf}}$

15) Fattore di modifica della risposta ↗

fx $R = 1.2 \cdot \frac{C_v}{C_s \cdot T^{\frac{2}{3}}}$

[Apri Calcolatrice ↗](#)

ex $6.033107 = 1.2 \cdot \frac{0.54}{0.35 \cdot (0.170s)^{\frac{2}{3}}}$

16) Fattore di modifica della risposta per strutture dipendenti dalla velocità ↗

fx $R = 2.5 \cdot \frac{C_a}{C_s}$

[Apri Calcolatrice ↗](#)

ex $10.71429 = 2.5 \cdot \frac{1.5}{0.35}$

17) Forza Laterale ↗

fx $V = \frac{F_x}{C_{ux}}$

[Apri Calcolatrice ↗](#)

ex $8.382706\text{kipf} = \frac{44000N}{1.18}$



18) Forza laterale totale che agisce in direzione di ciascuno degli assi principali ↗

fx $V = C_s \cdot W$

[Apri Calcolatrice ↗](#)

ex $8.399424\text{kipf} = 0.35 \cdot 106.75\text{kN}$

19) Forza sismica laterale ↗

fx $F_x = C_{ux} \cdot V$

[Apri Calcolatrice ↗](#)

ex $44090.77\text{N} = 1.18 \cdot 8.40\text{kipf}$

20) Periodo fondamentale dato il coefficiente di risposta sismica ↗

fx $T = \left(1.2 \cdot \frac{C_v}{R \cdot C_s} \right)^{\frac{3}{2}}$

[Apri Calcolatrice ↗](#)

ex $0.171409\text{s} = \left(1.2 \cdot \frac{0.54}{6 \cdot 0.35} \right)^{\frac{3}{2}}$

21) Periodo fondamentale per altri edifici ↗

fx $T = 0.02 \cdot h_n^{\frac{3}{4}}$

[Apri Calcolatrice ↗](#)

ex $0.110383\text{s} = 0.02 \cdot (32\text{ft})^{\frac{3}{4}}$



22) Periodo fondamentale per i telai in acciaio ↗

$$fx \quad T = 0.035 \cdot h_n^{\frac{3}{4}}$$

[Apri Calcolatrice ↗](#)

$$ex \quad 0.193171s = 0.035 \cdot (32ft)^{\frac{3}{4}}$$

23) Periodo fondamentale per i telai in cemento armato ↗

$$fx \quad T = 0.03 \cdot h_n^{\frac{3}{4}}$$

[Apri Calcolatrice ↗](#)

$$ex \quad 0.165575s = 0.03 \cdot (32ft)^{\frac{3}{4}}$$

24) Periodo fondamentale per telai in acciaio controventati eccentricamente ↗

$$fx \quad T = 0.03 \cdot h_n^{\frac{3}{4}}$$

[Apri Calcolatrice ↗](#)

$$ex \quad 0.165575s = 0.03 \cdot (32ft)^{\frac{3}{4}}$$

Carichi di neve ↗

25) Carico da neve al suolo dato carico da neve sul tetto ↗

$$fx \quad P_g = \frac{P_f}{0.7 \cdot C_e \cdot C_t \cdot I}$$

[Apri Calcolatrice ↗](#)

$$ex \quad 22.13695psf = \frac{12psf}{0.7 \cdot 0.80 \cdot 1.21 \cdot 0.8}$$



26) Carico da neve al suolo utilizzando il tipo di tetto ↗

fx $P_g = \frac{P_f}{C \cdot I}$

[Apri Calcolatrice ↗](#)

ex $5\text{psf} = \frac{12\text{psf}}{3 \cdot 0.8}$

27) Carico da neve sul tetto in base al tipo di tetto ↗

fx $P_f = I \cdot C \cdot P_g$

[Apri Calcolatrice ↗](#)

ex $43.2\text{psf} = 0.8 \cdot 3 \cdot 18\text{psf}$

28) Carico di neve sul tetto ↗

fx $P_f = 0.7 \cdot C_e \cdot C_t \cdot I \cdot P_g$

[Apri Calcolatrice ↗](#)

ex $9.75744\text{psf} = 0.7 \cdot 0.80 \cdot 1.21 \cdot 0.8 \cdot 18\text{psf}$

29) Fattore degli effetti termici dato il carico da neve sul tetto ↗

fx $C_t = \frac{P_f}{0.7 \cdot C_e \cdot I \cdot P_g}$

[Apri Calcolatrice ↗](#)

ex $1.488095 = \frac{12\text{psf}}{0.7 \cdot 0.80 \cdot 0.8 \cdot 18\text{psf}}$



30) Fattore di esposizione al vento dato il carico di neve sul tetto ↗

fx $C_e = \frac{P_f}{0.7 \cdot C_t \cdot I \cdot P_g}$

[Apri Calcolatrice ↗](#)

ex $0.983865 = \frac{12\text{psf}}{0.7 \cdot 1.21 \cdot 0.8 \cdot 18\text{psf}}$

31) Fattore di importanza per l'uso finale utilizzando il carico di neve sul tetto ↗

fx $I = \frac{P_f}{0.7 \cdot C_e \cdot C_t \cdot P_g}$

[Apri Calcolatrice ↗](#)

ex $0.983865 = \frac{12\text{psf}}{0.7 \cdot 0.80 \cdot 1.21 \cdot 18\text{psf}}$

32) Fattore di importanza utilizzando il tipo di tetto ↗

fx $I = \frac{P_f}{C \cdot P_g}$

[Apri Calcolatrice ↗](#)

ex $0.222222 = \frac{12\text{psf}}{3 \cdot 18\text{psf}}$



Carichi di vento ↗

33) Coefficiente di pressione esterna fornito da ASCE 7 ↗

fx $C_{ep} = \frac{p + q_i \cdot GC_{pt}}{G \cdot q}$

[Apri Calcolatrice ↗](#)

ex $1.18875 = \frac{14.88\text{pdl}/\text{ft}^2 + 15\text{pdl}/\text{ft}^2 \cdot 0.91}{1.20 \cdot 20\text{pdl}/\text{ft}^2}$

34) Coefficiente di pressione interna fornito da ASCE 7 ↗

fx $GC_{pt} = \frac{(q \cdot G \cdot C_{ep}) - p}{q_i}$

[Apri Calcolatrice ↗](#)

ex $0.528 = \frac{(20\text{pdl}/\text{ft}^2 \cdot 1.20 \cdot 0.95) - 14.88\text{pdl}/\text{ft}^2}{15\text{pdl}/\text{ft}^2}$

35) Coefficiente di pressione usando la pressione del vento ↗

fx $C_p = \frac{p}{q \cdot G}$

[Apri Calcolatrice ↗](#)

ex $0.62 = \frac{14.88\text{pdl}/\text{ft}^2}{20\text{pdl}/\text{ft}^2 \cdot 1.20}$



36) Fattore di direzionalità del vento data la pressione di velocità

fx
$$K_d = \frac{q}{0.00256 \cdot K_z \cdot K_{zt} \cdot I \cdot V_B^2}$$

[Apri Calcolatrice !\[\]\(65669ef2a9341eca7c5ba6092e766555_img.jpg\)](#)

ex
$$0.78 = \frac{20\text{pdl}/\text{ft}^2}{0.00256 \cdot 0.85 \cdot 25 \cdot 0.8 \cdot (29.6107\text{m/s})^2}$$

37) Fattore di importanza data la pressione di velocità

fx
$$I = \frac{q}{0.00256 \cdot K_z \cdot K_{zt} \cdot K_d \cdot V_B^2}$$

[Apri Calcolatrice !\[\]\(eaac180de418db4eae4b4cefebda75e8_img.jpg\)](#)

ex
$$0.8 = \frac{20\text{pdl}/\text{ft}^2}{0.00256 \cdot 0.85 \cdot 25 \cdot 0.78 \cdot (29.6107\text{m/s})^2}$$

38) Fattore di importanza usando la pressione di velocità

fx
$$I = \frac{q}{0.00256 \cdot K_z \cdot K_{zt} \cdot K_d \cdot V_B^2}$$

[Apri Calcolatrice !\[\]\(43fda5baa5446493352974e4b4060607_img.jpg\)](#)

ex
$$0.8 = \frac{20\text{pdl}/\text{ft}^2}{0.00256 \cdot 0.85 \cdot 25 \cdot 0.78 \cdot (29.6107\text{m/s})^2}$$

39) Fattore di risposta alle raffiche utilizzando la pressione del vento

fx
$$G = \frac{p}{q \cdot C_p}$$

[Apri Calcolatrice !\[\]\(af26bfd2c3812732860041a1728b438b_img.jpg\)](#)

ex
$$1.2 = \frac{14.88\text{pdl}/\text{ft}^2}{20\text{pdl}/\text{ft}^2 \cdot 0.62}$$



40) Fattore effetto raffica come indicato da ASCE 7 ↗

fx
$$G = \frac{p + q_i \cdot G C_{pt}}{q \cdot C_{ep}}$$

Apri Calcolatrice ↗

ex
$$1.501579 = \frac{14.88 \text{ pdl}/\text{ft}^2 + 15 \text{ pdl}/\text{ft}^2 \cdot 0.91}{20 \text{ pdl}/\text{ft}^2 \cdot 0.95}$$

41) Fattore topografico data la pressione di velocità ↗

fx
$$K_{zt} = \frac{q}{0.00256 \cdot K_z \cdot I \cdot K_d \cdot V_B^2}$$

Apri Calcolatrice ↗

ex
$$25 = \frac{20 \text{ pdl}/\text{ft}^2}{0.00256 \cdot 0.85 \cdot 0.8 \cdot 0.78 \cdot (29.6107 \text{ m/s})^2}$$

42) Pressione del vento come fornita da ASCE 7 ↗

fx
$$p = q \cdot G \cdot C_{ep} - q_i \cdot G C_{pt}$$

Apri Calcolatrice ↗

ex
$$9.15 \text{ pdl}/\text{ft}^2 = 20 \text{ pdl}/\text{ft}^2 \cdot 1.20 \cdot 0.95 - 15 \text{ pdl}/\text{ft}^2 \cdot 0.91$$

43) Pressione del vento di progetto statico equivalente ↗

fx
$$p = q \cdot G \cdot C_p$$

Apri Calcolatrice ↗

ex
$$14.88 \text{ pdl}/\text{ft}^2 = 20 \text{ pdl}/\text{ft}^2 \cdot 1.20 \cdot 0.62$$



44) Pressione di velocità ↗

fx $q = 0.00256 \cdot K_z \cdot K_{zt} \cdot K_d \cdot (V_B^2) \cdot I$

Apri Calcolatrice ↗

ex $20\text{pdl/ft}^2 = 0.00256 \cdot 0.85 \cdot 25 \cdot 0.78 \cdot ((29.6107\text{m/s})^2) \cdot 0.8$

45) Pressione di velocità fornita da ASCE 7 ↗

fx $q = \frac{p + q_i \cdot GC_{pt}}{G \cdot C_{ep}}$

Apri Calcolatrice ↗

ex $25.02632\text{pdl/ft}^2 = \frac{14.88\text{pdl/ft}^2 + 15\text{pdl/ft}^2 \cdot 0.91}{1.20 \cdot 0.95}$

46) Pressione di velocità in un dato punto come indicato da ASCE 7 ↗

fx $q_i = \frac{(q \cdot G \cdot C_{ep}) - p}{GC_{pt}}$

Apri Calcolatrice ↗

ex $8.703297\text{pdl/ft}^2 = \frac{(20\text{pdl/ft}^2 \cdot 1.20 \cdot 0.95) - 14.88\text{pdl/ft}^2}{0.91}$

47) Pressione di velocità usando la pressione del vento ↗

fx $q = \frac{p}{G \cdot C_p}$

Apri Calcolatrice ↗

ex $20\text{pdl/ft}^2 = \frac{14.88\text{pdl/ft}^2}{1.20 \cdot 0.62}$



48) Vento di base data la pressione della velocità ↗**Apri Calcolatrice** ↗

fx $V_B = \sqrt{\frac{q}{0.00256 \cdot K_z \cdot K_{zt} \cdot K_d \cdot I}}$

ex $29.6107 \text{ m/s} = \sqrt{\frac{20 \text{ pdl/ft}^2}{0.00256 \cdot 0.85 \cdot 25 \cdot 0.78 \cdot 0.8}}$



Variabili utilizzate

- **A_t** Zona tributaria (*Square Foot*)
- **C** Tipo di tetto
- **C_a** Coefficiente sismico per velocità dipendente
- **C_e** Fattore di esposizione al vento
- **C_{ep}** Coefficiente di pressione esterna
- **C_p** Coefficiente di pressione
- **C_s** Coefficiente di risposta sismica
- **C_t** Fattore degli effetti termici
- **C_{ux}** Fattore di distribuzione verticale
- **C_v** Coefficiente sismico per strutture di breve periodo
- **F_x** Forza sismica laterale (*Newton*)
- **G** Fattore di risposta alla raffica
- **GC_{pt}** Coefficiente di pressione interna
- **h_n** Altezza dell'edificio (*Piede*)
- **I** Fattore di importanza per l'uso finale
- **K_d** Fattore di direzionalità del vento
- **K_z** Coefficiente di esposizione alla velocità
- **K_{zt}** Fattore topografico
- **L_f** Carico dinamico sul tetto (*Newton*)
- **p** Pressione del vento (*Poundal/piede quadrato*)
- **P_f** Carico di neve sul tetto (*Pounds / Piede quadrato*)



- **P_g** Carico di neve al suolo (*Pounds / Piede quadrato*)
- **q** Pressione di velocità (*Poundal/piede quadrato*)
- **q_i** Pressione di velocità nel punto (*Poundal/piede quadrato*)
- **R** Fattore di modifica della risposta
- **R₁** Fattore di riduzione per la dimensione dell'area tributaria
- **R₂** Fattore di riduzione per la pendenza del tetto
- **T** Periodo fondamentale (*Secondo*)
- **V** Forza laterale (*Chilopound-Force*)
- **V_B** Velocità del vento di base (*Metro al secondo*)
- **W** Carico permanente totale (*Kilonewton*)



Costanti, Funzioni, Misure utilizzate

- **Funzione:** **sqrt**, sqrt(Number)
Square root function
- **Misurazione:** **Lunghezza** in Piede (ft)
Lunghezza Conversione unità ↗
- **Misurazione:** **Tempo** in Secondo (s)
Tempo Conversione unità ↗
- **Misurazione:** **La zona** in Square Foot (ft²)
La zona Conversione unità ↗
- **Misurazione:** **Pressione** in Pounds / Piede quadrato (psf), Poundal/piede quadrato (pdl/ft²)
Pressione Conversione unità ↗
- **Misurazione:** **Velocità** in Metro al secondo (m/s)
Velocità Conversione unità ↗
- **Misurazione:** **Forza** in Newton (N), Kilonewton (kN), Chilopound-Force (kipf)
Forza Conversione unità ↗



Controlla altri elenchi di formule

- **Carichi in tensione sul tetto**

Formule 

Sentiti libero di CONDIVIDERE questo documento con i tuoi amici!

PDF Disponibile in

[English](#) [Spanish](#) [French](#) [German](#) [Russian](#) [Italian](#) [Portuguese](#) [Polish](#) [Dutch](#)

10/13/2023 | 2:28:23 AM UTC

[Si prega di lasciare il tuo feedback qui...](#)

